



Spacecraft Re-Entry Control using Cross and Radial Moving-Mass Actuators

Moslem Karim-Abadeh¹ and Morteza Tayefi^{2*} 

1. M. Sc., Institute of Intelligent Control Systems, Khajeh Nasir Toosi University, Tehran, Iran
2*. Assistant Professor, Faculty of Aerospace Engineering, Khajeh Nasir Toosi University, Tehran, Iran

*Corresponding Author E-Mail:tayefi@kntu.ac.ir

In this study, the control of a space capsule during the re-entry phase is examined. Re-entry is one of the most important phases of a spacecraft's mission because when the spacecraft enters the Earth's atmosphere, aerodynamic forces and moments will disturb the angles of attack and side slip. These disturb angles, if not controlled, can cause serious injuries to the spacecraft and its passengers. To eliminate the disturbances, moving mass controllers have been used as an operator. Moving mass controllers (MMC) control the flying device by creating an internal force. The main advantage of moving mass controllers compared to other operators such as aerodynamic surfaces and thrust jets is the non-production of turbulent aerodynamic force (which can disrupt the controller's performance) due to the creation of internal force. Another important factor is the mechanism of moving mass controllers. In this research, in addition to the cross mechanism, which is a more common mechanism, the radial mechanism has also been examined. A non-linear controller is needed in order to use the radial mechanism, and in this research, a non-linear proportional-integral-derivative controller is suggested.

Keywords: : space capsule, re-entry, suborbital, moving mass, stability, control

How to Cite this Article:

M. Karim-Abadeh, and M. Tayefi, "Spacecraft Re-entry Control using Cross and Radial Moving-Mass Actuators," *Space Science and Technology*, vol. ??, no. ?, pp. ????, 2024(in Persian). <http://doi.org/10.22034/jsst.2024.1473>.

**COPYRIGHTS**

©2024 by the authors. Published by Aerospace Research Institute. This article is an open access article distributed under the terms and conditions of [the Creative Commons Attribution 4.0 International \(CC BY 4.0\)](https://creativecommons.org/licenses/by/4.0/)



کنترل فضایی بازگشت به جو با مکانیزم جرم‌های انتقالی صلیبی و شعاعی

مسلم کریم آباده^۱ و مرتضی طایفی^{۲*}

۱- دانشگاه صنعتی خواجه نصیرالدین طوسی، پژوهشکده سیستم‌های کنترل هوشمند، تهران، ایران

۲- دانشگاه صنعتی خواجه نصیرالدین طوسی، دانشکده مهندسی هواپیما، تهران، ایران

*ایمیل نویسنده مخاطب: tayefi@kntu.ac.ir

در این پژوهش به طراحی کنترل برای یک فضایی بازگشتی یا کپسول فضایی در فاز بازگشت به جو از پرواز زیرمداری بر مبنای مکانیزم جرم‌های انتقالی داخلی پرداخته می‌شود. فاز بازگشت به جو یکی از مهم‌ترین مراحل انجام ماموریت یک فضایی است، زیرا با ورود فضایی به جو زمین نیروها و ممان‌های آبرو دینامیکی باعث اختنشاش زوایای حمله و سرش جانی خواهد شد. این زوایای اختنشاشی در صورتی که کنترل نشود ممکن است باعث خدمات جدی به فضایی و سرنشین‌های آن شود. علاوه بر این، مسیر پروازی فضایی و محل فرود نیز متاثر از این اختنشاشات خواهد بود. برای دفع این اختنشاش‌ها از جرم‌های انتقالی به عنوان عملگر استفاده شده است. جرم‌های انتقالی با ایجاد تعییرات جزئی در مرکز جرم وسیله پرنده این امکان را فراهم می‌کند تا نیروهای آبرو دینامیکی مزاحم را به نیروهای کنترلی موثر تبدیل کرد. مزیت اصلی جرم‌های انتقالی نسبت به عملگرهای دیگر نظیر سطوح آبرو دینامیکی و تراست جت‌ها، عدم تولید نیروی آبرو دینامیکی و پیش‌رانشی اضافی و محافظت از عملگرهای در برابر گرماش آبرو دینامیکی ورود به جو می‌باشد. نوع چیدمان جرم‌های انتقالی نیز یک فاکتور مهم محسوب می‌شود. در این پژوهش علاوه بر مکانیزم صلیبی که مکانیزم مرسوم‌تری است، مکانیزم شعاعی نیز بررسی و تحلیل شده است. برای استفاده از مکانیزم شعاعی ناگزیر به استفاده از یک کنترل کننده غیرخطی هستیم که در این پژوهش کنترل کننده تناوبی-انتگرالی-مشتقی غیرخطی پیشنهاد شده است.

واژه‌های کلیدی: کپسول فضایی، بازگشت به جو، زیرمداری، جرم‌های انتقالی، پایداری، کنترل

یکی از مهم‌ترین بخش‌های ماموریت یک کپسول فضایی بازگشتی است [۱]. بعد از ورود به جو فضایی با غلیظ شدن اتمسفر نیروهای آبرو دینامیکی شروع به وارد کردن نیرو به بدنه فضایی می‌کنند. بعد از وارد شدن نیروهای مزاحم به فضایی، جسم پرنده شروع به حرکت های اختنشاشی می‌کند. این اختنشاش‌ها در مورد زاویه حمله و زاویه سرش جانی مهم‌تر هستند. ما در عمل با کنترل زاویه حمله و سرش جانی می‌توانیم پیچش و گردش فضایی را کنترل کنیم. اگر این

مقدمه

فضایی‌های بازگشتی نوعی پرنده بازگشت به جو هستند. وسائل هوا فضایی بازگشت به جو مانند کپسول‌های فضایی، سیستم‌های بالستیک و... ابتدا از جو زمین خارج شده و سپس با انجام ماموریت یا برای انجام ماموریت به جو زمین بر می‌گردد. در مرحله آخر وارد فاز بازگشت به جو شده و توسط چتر بازیابی می‌شوند. فاز بازگشت به جو

۱- کارشناسی ارشد

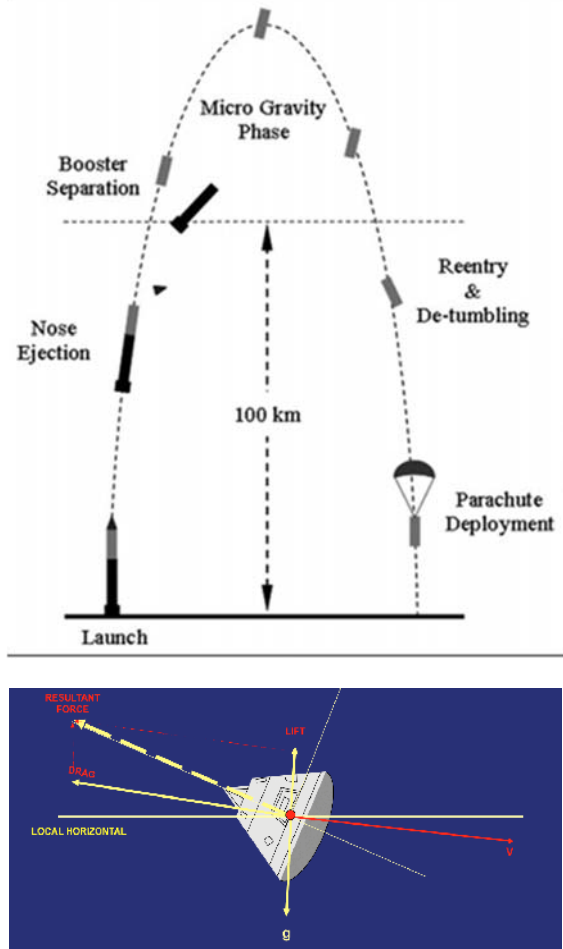
۲- استادیار (نویسنده مخاطب)



COPYRIGHTS

©2024 by the authors. Published by Aerospace Research Institute. This article is an open access article distributed under the terms and conditions of the Creative Commons Attribution 4.0 International (CC BY 4.0).

از نیروی تراست است. همچنین امکان استفاده از موتورهای غیرالکتریکی در کوادکوپتر را به ما می‌دهد.



شکل ۱ - مراحل پرواز زیرمداری شامل فرآیند پرتاب و بازیابی (بالا) و نمایی از کپسول فضایی در مرحله بازگشت به جو (پایین)

جرم‌های انتقالی نسبت به دیگر عملگرها دارای مزايا و معايي هستند که می‌توان به موارد زير اشاره کرد. سطوح کنترلي به دليل ارتباط نزديك که با جريان هوا دارد می‌تواند باعث ايجاد نيروهای اغتشاشي شود. همچنین، اين سطوح در سرعت‌های بالا در خطر فرسايش و شکستگي قرار دارد [3]. علاوه بر اين راندمان کنترل سطوح آيروديناميکي با افزايش اارتفاع به سرعت کاهش پيدا می‌کند [9] در تراست جت‌ها نيز به دليل نياز به سوخت زياد توانيي حمل بار بسيار پايان می‌آيد. همچنین، اختلال جريان جت ناشي از رانش ممکن است در کار کنترل‌کننده خلل ايجاد کند. به طور خلاصه می‌توان نوشت: ۱- جرم‌های متحرک کاملا در داخل جسم پرنه قرار می‌گيرند بنابراین هیچ نيروي اضافي تولید نمی‌کنند. ۲- از نيروهای آيروديناميکي بهره

اغتشاش‌ها مهار نشود می‌تواند آسيب‌های جدي به پرنده و سرنشين‌های احتمالي داخل آن وارد کند. مراحل کلي ماموريت يك فضاپيمای بازگشتی در پرواز زيرمداری در شكل ۱ قابل مشاهده است [2] همچنین نمایی از فرم هندسى بلانت برای كپسول فضایي مورد تحقيق در اين مقاله نيز نشان داده است. لازم به ذكر است که در مرجع [2] طرح جرم‌های انتقالی صليبي برای فرم هندسى استوانه اى کار شده است.

برای کنترل فاز بازگشت به جو از عملگرهاي مرسومي مانند سطوح کنترلي و تراست جت‌ها استفاده می‌شود که هرگدام داراي مزايا و معايي هستند. در اين پژوهش از سيسitem کنترل جرم‌های انتقالی (Moving Mass Control) به عنوان يك روش کنترلي موثر استفاده می‌شود. در اين روش کنترلي، عملگرها در داخل جسم پرنده حرکت کرده به عبارتی مكان عملگرها يا همان جرم‌های متحرک با زمان تغيير می‌کند. اين تغيير مكان مرکز جرم فضاپيمای در هر لحظه می‌شود که اين موضوع باعث تغيير گشتاورهای آيروديناميکي می‌گردد. که می‌توان با اين گشتاورها به کنترل جسم پرنده پرداخت [3]. از جرم‌های انتقالی در وسائل هوافضائي مختلفي استفاده می‌شود که به برخی از آن‌ها می‌پردازيم. از اين عملگر برای کنترل زاويه پيچش و زاويه گردن در پهپادها استفاده می‌شود. در پهپادها برای کنترل کامل وسيلي مجبور به استفاده همزمان از جرم‌های انتقالی و سطوح آيروديناميکي هستيم. اين امر باعث استفاده کمتر از سطوح آيروديناميکي می‌گردد که باعث می‌شود نيروي اغتشاشي کمتری ايجاد شود [4]. همين طور از جرم‌های انتقالی در کنترل پهپادهاي عمود پرواز استفاده می‌شود. استفاده از جرم‌های انتقالی در مولتی روتورها علاوه بر مزيت‌های گفته شده به پرنده اين امكان را می‌دهد تا عدم تعادل جرم ناشي از دقت کم در طول ساخت را جبران کنيم [5] از اين عملگر کنترلي برای تريم کردن و کنترل زاويه حمله يك پرتا Berger بالستيک نيز استفاده شده است. اين سيسitem با حرکت جرم‌های انتقالی سعى در ايجاد زاويه حمله مناسب جهت تريم کردن محموله بازگشت به جو دارد. استفاده از جرم‌های انتقالی نه تنها دقت بالاتری داشته به دليل نياز به بزرگ مقامات نيز هستند [6] زاويه غلت به عنوان يكى از زوايای اويلر در بسياري از موارد مستلزم وجود يك کنترل کننده می‌باشد. از جرم‌های انتقالی می‌توان برای کنترل زاويه رول نيز [7]. در [8] از جرم‌های انتقالی برای کنترل کوادکوپترهای سنگين که توانيي حمل بار زياد را دارد استفاده شده است. در اين سيسitem از موتورها فقط برای ايجاد نيروي تراست استفاده می‌شود. برای مانورها از جرم‌های انتقالی به عنوان يك عملگر ديگر استفاده می‌شود که اين موضوع باعث استفاده کمتر

همچنین، بر اساس قانون دوم نیوتن برای مجموع گشتاورها داریم:

$$\sum \mathbf{M} = \mathbf{I}\boldsymbol{\omega} + \boldsymbol{\omega} \times (\mathbf{I}\boldsymbol{\omega}) \quad (4)$$

که در آن

$$\mathbf{I} = \begin{bmatrix} I_{xx} & -I_{yx} & -I_{xz} \\ -I_{yx} & I_{yy} & -I_{yz} \\ -I_{xz} & -I_{yz} & I_{zz} \end{bmatrix}$$

در این پژوهش ممان اینرسی‌ها ثابت فرض می‌شود، در واقع تغییرات ممان اینرسی ناشی از تغییرات مرکز جرم را می‌توان به عنوان عدم قطعیت مدل در سیستم کنترل در نظر گرفت. از رابطه شماره (۳) نتیجه می‌گیریم که:

$$\begin{bmatrix} p \\ q \\ r \end{bmatrix} = \frac{\mathbf{M}}{\mathbf{I}} - \boldsymbol{\omega} \times \frac{\mathbf{I}\boldsymbol{\omega}}{\mathbf{I}} \quad (5)$$

در نتیجه، وضعیت سیستم با استفاده از معادلات انتشار به صورت زیر به دست می‌آید.

$$\begin{bmatrix} \varphi \\ \theta \\ \psi \end{bmatrix} = \begin{bmatrix} 1 & \sin\varphi \tan\theta & \cos\varphi \tan\theta \\ 0 & \cos\varphi & -\sin\theta \\ 0 & \frac{\sin\varphi}{\cos\theta} & \frac{\cos\varphi}{\cos\theta} \end{bmatrix} \begin{bmatrix} p \\ q \\ r \end{bmatrix} \quad (6)$$

استخراج نیروها و ممانها

در این بخش ابتدا نیروها و ممان‌های آبرودینامیکی معرفی می‌شود. در ادامه نیروی وزن در دستگاه اینرسی استخراج شده و با استفاده از ماتریس انتقال به دستگاه بدنی انتقال داده می‌شود.

• نیرو و ممان آبرودینامیکی

برای استخراج نیروهای آبرودینامیکی ابتدا ضرایب آبرودینامیکی بررسی می‌شود.

$$\begin{aligned} c_x &= -c_{A0} - \frac{L_{ref}}{2|\mathbf{V}_b|} c_{Aq} q \\ c_y &= c_{y0} + \frac{L_{ref}}{2|\mathbf{V}_b|} (rc_{yr} + pc_{yp}) \\ c_z &= -c_{N0} - \frac{L_{ref}}{2|\mathbf{V}_b|} c_{Nq} q \end{aligned} \quad (7)$$

کامل می‌برند که باعث صرفه‌جویی می‌شود و توانایی حمل بار را به حداقل می‌رساند [3].

در بخش‌های بعدی مقاله، ابتدا به معرفی سیستم و استخراج معادلات حرکت پرداخته می‌شود. بعد از آن سیستم بدون وجود کنترل کننده بررسی می‌شود تا نیاز به یک کنترل کننده کارآمد توجیه شود. سپس به معرفی بیشتر چیدمان و مکانیزم‌های جرم‌های متحرک پرداخته می‌شود. در مرحله بعد کنترل کننده تناسبی-انتگرالی-مشتقی غیرخطی معرفی می‌شود. در مرحله آخر به شبیه‌سازی موارد ذکر شده می‌پردازیم و یک نتیجه‌گیری کلی انجام می‌دهیم.

مدل‌سازی دینامیکی

استخراج معادلات حرکت

در این بخش به استخراج معادلات حرکت فضایی‌بازگشته در دستگاه بدنی و اینرسی پرداخته می‌شود. در استخراج این روابط، فضایی‌بما یک جسم صلب در نظر گرفته می‌شود. همچنین، بعد از استخراج معادلات به توسعه روابط و اعمال اثر نیرو و ممان آبرودینامیکی و نیروی وزن می‌پردازیم.

طبق قانون دوم نیوتن برای مجموع نیروها داریم:

$$\sum \mathbf{F} = m_T (\dot{\mathbf{V}}_b + \boldsymbol{\omega} \times \dot{\mathbf{V}}_b) \quad (1)$$

در رابطه بالا m جرم کاوشگر، \mathbf{V}_b سرعت خطی و $\boldsymbol{\omega}$ سرعت دورانی کاوشگر است. که هر دو در دستگاه بدنی تعریف می‌شوند و مولفه‌های آن به شکل زیر است.

$$\begin{aligned} \dot{\mathbf{V}}_b &= \begin{bmatrix} u \\ v \\ w \end{bmatrix} \\ \boldsymbol{\omega} &= \begin{bmatrix} p \\ q \\ r \end{bmatrix} \end{aligned} \quad (2)$$

که در رابطه بالا u, v و w به ترتیب سرعت در راستای محورهای x, y و z دستگاه مختصات بدنی و همچنین p, q و r سرعت‌های دورانی حول محورهای x, y و z هستند.

از رابطه شماره (1) داریم:

$$\begin{bmatrix} u \\ v \\ w \end{bmatrix} = \frac{\mathbf{F}}{m_T} - (\boldsymbol{\omega} \times \mathbf{V}_b) \quad (3)$$

از معادله (۸) و (۱۰) دیده می‌شود که تغییرات محل مرکز جرم چگونه بر روی گشتاورهای آیرودینامیکی تاثیرگذار می‌باشد که این در نهایت بر روی گشتاور اعمالی در معادله (۵) تاثیر خواهد گذاشت.

• نیروی وزن

نیروی وزن نیز در دستگاه اینرسی با استفاده از فرمول $w = mg$ به دست می‌آید با این تفاوت که شتاب گرانش با تغییر ارتفاع تغییر می‌کند. در این پژوهش شتاب گرانش طبق مدل WGS84 به دست می‌آید.

بعد از استخراج بردار نیروی وزن در دستگاه مختصات اینرسی باید آن را به دستگاه بدنی انتقال بدheim که این انتقال با استفاده از رابطه زیر به دست می‌آید.

$$\mathbf{W} = m_T \mathbf{U} g \quad (11)$$

U، همان ماتریس انتقال از دستگاه اینرسی به دستگاه بدنی است.

$$U = \begin{pmatrix} \cos\theta & \sin\theta & 0 \\ -\sin\theta & \cos\theta & 0 \\ 0 & 0 & 1 \end{pmatrix}$$

بنابراین نیروی وزن در نهایت به شکل زیر به دست می‌آید

$$\mathbf{W} = m_T \begin{bmatrix} -g \sin \theta \\ g \cos \theta \sin \varphi \\ g \cos \theta \cos \varphi \end{bmatrix} \quad (12)$$

لازم بذکر است که در مورد نیروی پیشان به دلیل این که فاز بازگشت به جو قرار داریم و در این فاز موتور وجود ندارد صفر در نظر گرفته شده است.

رفتار سیستم بدون کنترل

برای اینکه بتوانیم به خوبی تأثیرات کنترل کننده بر سیستم را مورد بررسی قرار دهیم، ابتدا به بررسی عملکرد سیستم بدون وجود کنترل کننده می‌پردازیم. متغیرهای اصلی کنترلی مورد مطالعه زاویه حمله و زاویه سرشانی هستند. این متغیرها از طریق سیستمیک ذرات و با توجه به روابط زیر به دست می‌آیند.

$$\alpha = \tan^{-1}\left(\frac{w}{u}\right) \quad (13)$$

$$\beta = \sin^{-1}\left(\frac{v}{V}\right)$$

$$V = \sqrt{u^2 + v^2 + w^2} \quad (14)$$

در روابط بالا C_{A0} نیرویی است که بدون در نظر گرفتن زاویه حمله و صرفاً از لحاظ شکل ظاهری پرنده در راستای x به پرنده اعمال می‌شود. تغییرات نیرو در جهت محور z در حالتی است که کاوشگر هیچ‌گونه زاویه‌ی حمله و سرش جانبی نداشته باشد و فقط به شکل ظاهری کپسول فضایی مربوط است و از سایر فاکتورها جدا است.

تغییرات نیرو در جهت محور z نسبت به تغییرات سرعت زاویه ای p و r می‌باشد. C_{N0} تغییرات نیرو در جهت z با توجه به ظاهر کپسول است. C_{Nq} تغییرات نیرو در جهت z نسبت به تغییرات سرعت زاویه ای q است. C_x, C_y و C_z به ترتیب ضرایب نیروی آیرودینامیکی در راستای x, y و z است که نشان‌دهنده تغییرات نیرو در جهت‌های محور مختصات هستند.

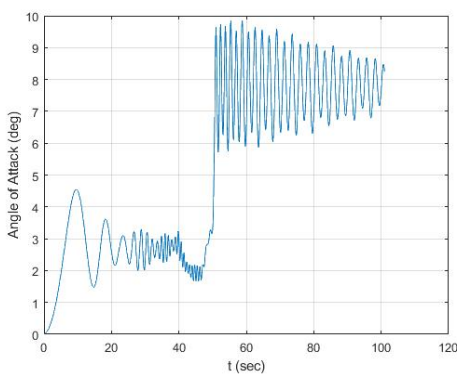
ضرایبی که باعث ایجاد ممان می‌شوند عبارتند از c_l, c_m, c_n که به ترتیب ممان ایجاد شده حول محورهای x, y و z را نشان می‌دهد و با استفاده از روابط زیر به دست می‌آیند.

$$\begin{aligned} c_l &= c_{l0} + \frac{L_{tr}}{2V_b} (rc_r + pc_p) + \frac{c_y}{L_{tf}} (\zeta_g - \zeta_{tg}) - \frac{c_z}{L_{tf}} (y_g - y_{tg}) \\ c_m &= c_{m0} + \frac{L_{tr}}{2V_b} qc_{mq} + \frac{c_x}{L_{tf}} (\zeta_g - \zeta_{tg}) - \frac{c_z}{L_{tf}} (x_g - x_{tg}) \\ c_n &= c_{n0} + \frac{L_{tr}}{2V_b} (rc_r + pc_p) + \frac{c_x}{L_{tf}} (\zeta_g - \zeta_{tg}) - \frac{c_y}{L_{tf}} (y_g - y_{tg}) \end{aligned} \quad (15)$$

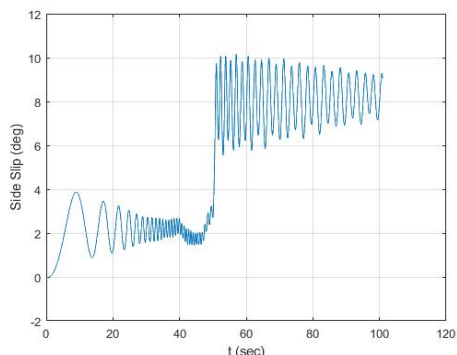
در روابط بالا x_{cg}, y_{cg}, z_{cg} مکان، مرکز جرم در هر لحظه می‌باشد و $x_{cgr}, y_{cgr}, z_{cgr}$ مکان اولیه مرکز جرم است. $c_{lr}C_{lp}$ به ترتیب تغییرات ممان آیرودینامیکی حول محور x با توجه به تغییرات سرعت‌های زاویه‌ای حول محورها x و z هستند $c_{nr}C_{np}$ به ترتیب تغییرات ممان آیرودینامیکی حول محور z . توجه به تغییرات سرعت‌های زاویه‌ای حول محورها x و z هستند. دورانی حول همین محور است. c_{m0}, c_{l0} و c_{n0} تغییرات ممان‌های آیرودینامیکی با توجه به ظاهر کپسول فضایی است. ضرایب نام برده شده در طول مسیر شبیه‌سازی و با تغییر فشار و چگالی تغییر کرده است که این موضوع بیانگر غیرخطی بودن سیستم ما است که کار را برای کنترل سخت‌تر می‌کند. در آخر نیروها و ممان‌ها آیرودینامیکی با استفاده از ضرایب بالا و از طریق روابط (۹) و (۱۰) به دست می‌آید:

$$\mathbf{F}_b = Q\mathbf{S}_{ref} [c_x \ c_y \ c_z]^T \quad (9)$$

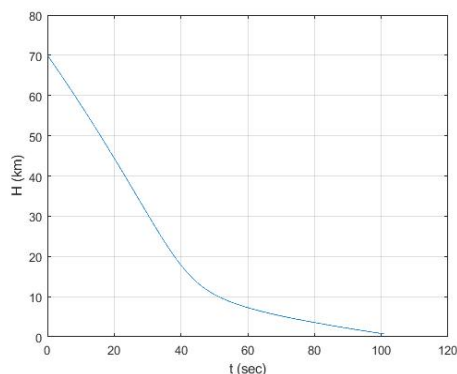
$$\mathbf{M}_b = Q\mathbf{S}_{ref} [c_l \ c_m \ c_n]^T \quad (10)$$



شکل ۴- زاویه حمله بدون کنترل کننده با وجود نامعینی در مرکز جرم



شکل ۵- زاویه سرش جانی بدون کنترل کننده با وجود نامعینی در مرکز جرم



شکل ۶- نمودار تغییر ارتفاع

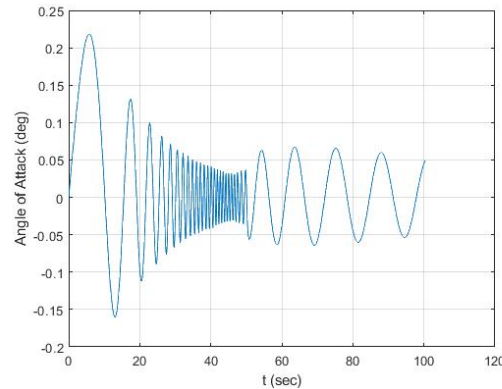
mekanizmehai chidman jermehai mthrik

در این پژوهش از دو مکانیزم صلیبی و شعاعی برای نحوه عملکرد جرم‌های انتقالی استفاده می‌کنیم که به تفصیل به آنها می‌پردازیم. در این تحقیق فرض بر این است که موقعیت جرم‌های انتقالی مستقیماً به عنوان سیگنال کنترلی استفاده می‌شود. این در حالی است که در تست

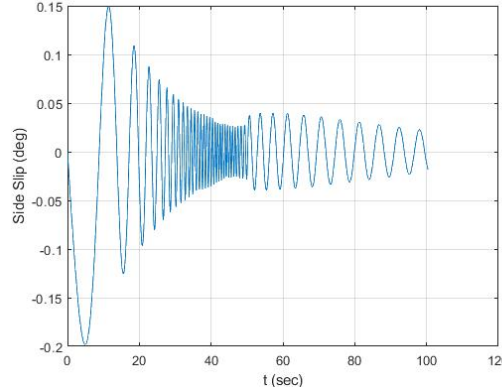
ابتدا به بررسی رفتار سیستم بدون وجود هیچ نامعینی و زاویه‌ی حمله اولیه هنگام ورود به جو می‌پردازیم یا به عبارتی کاوشگر با زاویه پیچش ۹۰ درجه وارد جو زمین می‌گردد.

در شکل ۲ و ۳ مشاهده می‌شود که زوایای اغتشاشی نسبتاً کوچک است. در یک فضای پیما دو نوع نامعینی در مرکز جرم وجود دارد. نامعینی اول به دلیل متقابن نبودن فضای پیما ساخت ایجاد می‌شود. دلیل دیگر ایجاد نامعینی حرکات سرنشین‌های داخل فضای پیما است. پس ایجاد نامعینی امری بدیهی است. در این پژوهش به طور مثال یک سانتی‌متر نامعینی در مرکز جرم در نظر می‌گیریم.

در شکل ۴ و ۵ مشاهده می‌شود که زوایای اغتشاشی هم از نظر فرکانس نوسانات و هم از نظر دامنه نوسانات بسیار بیشتر شده که می‌تواند باعث آسیب به کاوشگر و سرنشینان آن شود. همچنین مسیر پروازی را نیز تغییر خواهد داد. نمودار تغییرات ارتفاع با گذشت زمان را نیز در شکل (۶) مشاهده می‌کنید.



شکل ۲- زاویه حمله بدون کنترل کننده

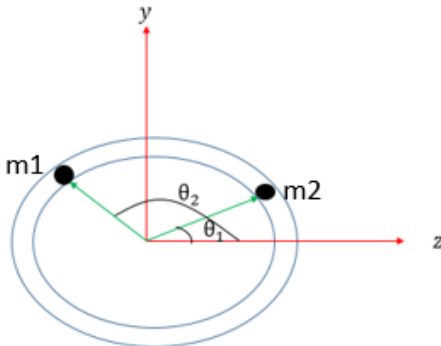


شکل ۳- زاویه سرش جانی بدون کنترل کننده

در روابط بالا d_1 و d_2 میزان جابه‌جایی جرم‌های انتقالی m_1 و m_2 جرم، جرم‌های متحرک m جرم کل فضایما بدون جرم‌های متحرک است که می‌توان بیان کرد $m_T = m_1 + m_2 + m$. Cg_z مکان قبلی مرکز جرم در راستاهای z و z' بعد از دستور کنترل و جابه‌جایی جرم انتقالی است.

مکانیزم شعاعی:

در این بخش قصد داریم تا به معرفی نوع جدیدی از چیدمان عملگرها پردازیم. در این نوع چیدمان، عملگر جرم‌های انتقالی به صورت شعاعی در دور کاوشگر حرکت می‌کنند. بهتر است تا برای درک بهتر این موضوع به شکل ۸ دقت شود.



شکل ۸- شماتیک شعاعی جرم‌های انتقالی در کپسول فضایی

همان‌گونه که در شکل مذکور مشخص است جرم‌های انتقالی دیگر در راستای محورهای مختصات حرکت نمی‌کنند و به دور کپسول می‌چرخند. نکته مثبت این مکانیزم این است که هر دو جسم می‌توانند بر مرکز جرم در راستاهای مختلف تاثیر بگذارند. این امر سبب می‌شود که در صورت ایجاد نامعینی بزرگ یا ورویدی اغتشاشی بزرگ که یک جرم نتواند گشتاور لازم برای کنترل زاویه ایجادشده را فراهم کند، دو جرم در یک طرف از کپسول قرار گرفته و گشتاور بزرگ‌تری را ایجاد کنند. همچنین، در ماموریت‌هایی که وزن اهمیت بسیار بالایی دارد می‌توانیم از جرم‌های متحرک سبک‌تری استفاده کنیم. از پیچیدگی‌های این چیدمان می‌توان به غیرخطی بودن روابط و نیاز به یک کنترل کننده غیرخطی برای کنترل آن اشاره کرد.

با توجه به مکانیزم بالا، مرکز جرم‌های جدید در راستاهای z و z' با توجه به روابط (۱۷) و (۱۸) زیر به دست می‌آیند.

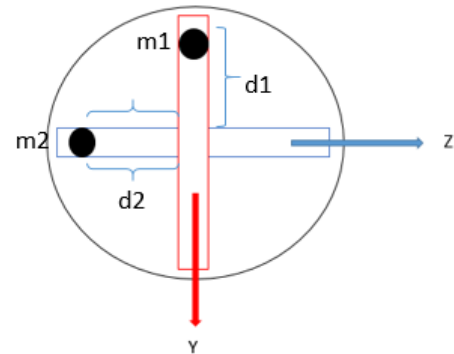
$$z_{cg} = \frac{m_1 r \cos \theta_1 + m_2 r \cos \theta_2}{m_1 + m_2 + m} \quad (17)$$

$$y_{cg} = \frac{m_1 r \sin \theta_1 + m_2 r \sin \theta_2}{m_1 + m_2 + m} \quad (18)$$

آزمایشگاهی لازم است سیستم کنترل با فرض لحاظ کردن دینامیک یا به عبارتی سرعت و شتاب جرم‌ها، بازبینی و ارتقا یابد.

مکانیزم صلبی

شکل ظاهری این مکانیزم مانند علامت جمع (+) بوده و جرم‌های انتقالی به صورت متقاطع و در شیارهای تعییه شده حرکت می‌کنند. شماتیک گفته شده در شکل ۷ مشاهده می‌شود.



شکل ۷- شماتیک صلبی جرم‌های انتقالی در کپسول فضایی

همان‌گونه که در شکل مشخص است جرم‌های متحرک در شیارهای تعییه شده حرکت کرده و باعث تغییر مکان مرکز جرم در راستای حرکت خود می‌شوند. که این تغییر مکان مرکز جرم باعث ایجاد تغییر در زاویه حمله و سرش جانبی می‌شود. حرکت جرم انتقالی m_2 در راستای محور z باعث تغییر مرکز جرم در این راستا گردیده و باعث ایجاد زاویه حمله می‌گردد، که این تغییر مکان جرم‌های انتقالی متناسب با زاویه اغتشاشی ایجاد شده است، به این صورت که با توجه به زاویه حمله نامطلوب ایجاد شده، کنترل کننده دستور تغییر مرکز جرم را صادر می‌کند که این تغییر مکان مرکز جرم با استفاده از حرکت جرم انتقالی ایجاد می‌گردد. حرکت جرم انتقالی m_1 در راستای محور z دستگاه مختصات به مانند بالا باعث کنترل زاویه سرش جانبی می‌شود.

مزیت این مکانیزم روابط ساده و خطی آن است که باعث می‌شود بتوانیم برای کنترل فضایما از کنترل کننده‌های خطی مانند تناسی - انتگرالی-مشتقی (PID) نیز استفاده کنیم. روابط (۱۵) و (۱۶) نشان دهنده تغییرات مکان مرکز جرم بر اساس تغییر مکان جرم‌های متحرک است. لازم به ذکر است که روابط زیر با فرض این که مرکز جرم و سیله بدون حضور جرم‌های انتقالی در مرکز هندسی یا مبدأ مختصات بدنه قرار دارد استخراج شده است.

$$y_{cg} = \frac{m_1 d_1}{m_1 + m_2 + m} \quad (15)$$

$$z_{cg} = \frac{m_2 d_2}{m_1 + m_2 + m} \quad (16)$$

در این کنترل کننده هر کدام از ضرایب PID با یکتابع غیرخطی (f_1, f_2, f_3) می‌شوند. که یکتابع غیرخطی از تابع‌های علامت و نمایی از خطای سیستم هستند. چگونگی این امر با توجه به فرمولاسیون زیر توضیح داده می‌شود.

$$U_{NLPID} = f_1(e) + f_2(e) + f_3(e) \quad (20)$$

$$f_i = k_i(\gamma) |\gamma|^{\alpha_i} sign(\gamma) \quad (21)$$

$$k_i(\gamma) = k_{i1} + \frac{k_{i2}}{1 + e^{\mu_i \gamma^2}} \quad (22)$$

در رابطه (۲۱) β شامل بردار e, \dot{e}, \ddot{e} و $\alpha_i \in R^{+}$ است.

یکتابع مشتی با ضرایب $k_{1i}, k_{2i}, \mu_i \in R^{+}$ هستند. برای

بالا بردن حساسیت کنترل کننده از این ضریب استفاده می‌شود.

مشخص است که در این کنترل کننده به جای ۳ ضریب از ۱۲ ضریب استفاده می‌شود که کنترل کننده ما را انعطاف پذیرتر می‌کند. ضریب استفاده می‌شود که کنترل کننده از روش‌های مختلفی از جمله لازم به ذکر است که ضرایب سیستم از روش‌های آزمون و خطا ژنتیک الگوریتم وغیره استخراج می‌شود. در این پژوهش ضرایب استفاده شده به روش آزمون و خطا بدست آمده است [11].

در شکل (۹) نحوه کار کنترل کننده بیان شده است. طبق شکل مقدار خطای لحظه‌ای سیستم از مقدار مطلوب سیستم در هر لحظه کم شده و مقدار خطای محاسبه می‌کند. خطای محاسبه شده وارد کنترل کننده شده و کنترلر بر حسب میزان خطای دستور لازم را صادر می‌کند. دستور صادر شده از سوی کنترل مقدار جابه‌جایی جرم‌های انتقالی هستند. خروجی کنترل کننده طبق فرمولهای (۱۷) و (۱۸) یا (۲۰) تا (۲۲) بسته به اینکه از کدام کنترل کننده (PID) خطي یا غير خطی استفاده کرده‌ایم به میزان جابه‌جایی مکان مرکز جرم تبدیل می‌شود. مرکز جرم لحظه‌ی جدید وارد دینامیک سیستم شده و بر روی متغیرهای کنترلی اثر می‌گذارد. مقدار جدید متغیرهای کنترلی به صورت فیدبک از مقدار مطلوب لحظه‌ای کم شده و بردار خطای ایجاد می‌کند.

در معادلات بالا θ_2 زوایای ایجاد شده جرم‌های انتقالی با مرکز جرم هستند که در شکل ۸ نیز مشاهده می‌شوند. ۲ شاعع مقطع کپسول است. با توجه به معادلات یاد شده مشخص است که دو جرم انتقالی در تغییر مرکز جرم در راستاهای مختلف تاثیر مستقیم خواهند داشت.

به طور کلی در این پژوهش با محدودیت‌هایی همچون میزان جابه‌جایی جرم‌های انتقالی در مکانیزم صلیبی و میزان زاویه عملگرها در مکانیزم شعاعی مواجه هستیم. به این معنی که جرم‌های انتقالی نمی‌توانند آزادانه و به طور دلخواه و به هر میزان جابه‌جا شوند. بنابراین کنترل کننده با محدودیت اشیاع مواجه است و هر سیگنال کنترلی را نمی‌تواند به سیستم اعمال کند.

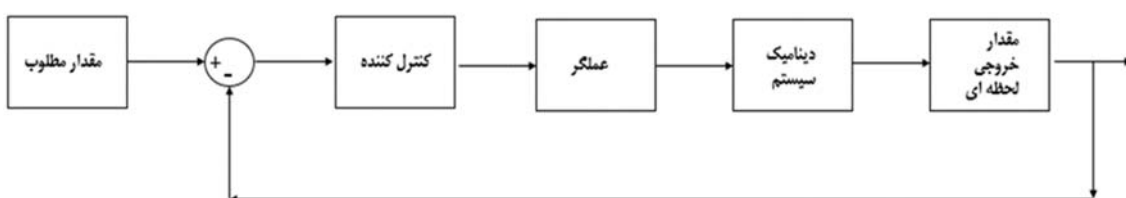
کنترل کننده تناسبی_انتگرالی_مشتقی خطی و غیرخطی

از [10] می‌دانیم که فرمول اصلی کنترل کننده تناسبی-انتگرالی-مشتقی خطی در رابطه (۱۹) نمایش داده شده است.

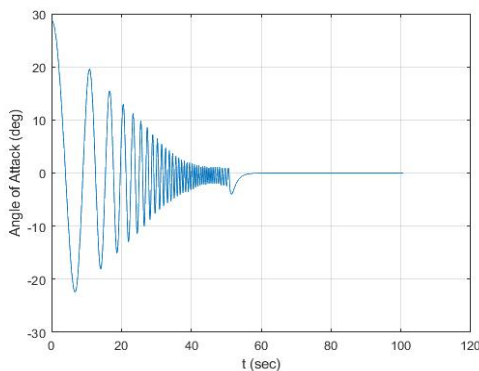
$$U_{PID} = k_p e + k_i \int e dt + k_d \dot{e} \quad (19)$$

در این رابطه U معرف تلاش کنترلی یا خروجی کنترل کننده، e معرف خطای k_p ضریب تناسبی، k_i ضریب انتگرالی و k_d ضریب مشتقی در نظر گرفته می‌شود. روش‌های طراحی متفاوتی به تفضیل در منابع مختلف شرح داده شده است.

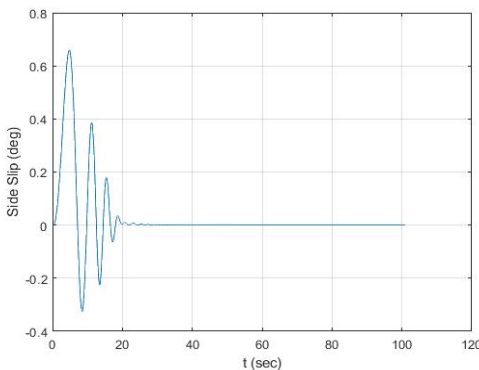
همان‌گونه که گفته شد در این پژوهش علاوه بر مکانیزم صلیبی، مکانیزم شعاعی نیز مورد استفاده قرار می‌گیرد. با توجه به دینامیک عملگرها در مکانیزم شعاعی کنترل کننده خطی قادر به پاسخ‌گویی به این دینامیک نمی‌باشد که این موضوع در بخش‌های بعدی نشان داده می‌شود. بنابراین تیاز به یک کنترل کننده غیرخطی مشخص است. در این پژوهش به عنوان یک کنترل کننده غیرخطی از کنترل کننده تناسبی_انتگرالی_مشتقی غیرخطی استفاده می‌کنیم.



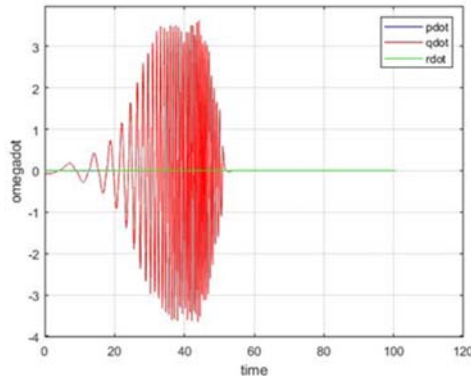
شکل ۹- بلوك دیاگرام سیستم کنترل



شکل ۱۲- زاویه حمله کنترل شده با وجود نامعینی



شکل ۱۳- زاویه سرش جانی کنترل شده با وجود نامعینی



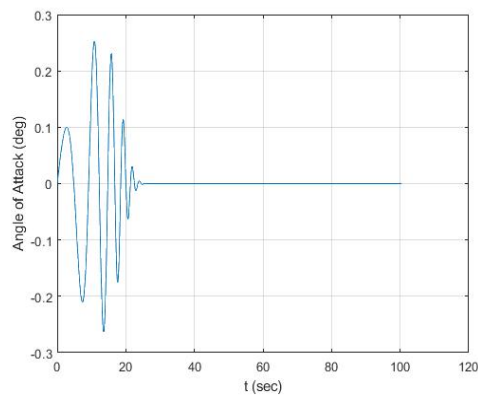
شکل ۱۴- سرعت‌های زاویه‌ای بر حسب زمان

با گذشت زمان و با کاهش ارتفاع فضاییما، میزان فشار اتمسفر و به دنبال آن ضرایب آیرودینامیکی افزایش پیدا کرده و ضرایب اغتشاشی بزرگی ایجاد می‌شود که در بخش قبل توضیح داده شد. از طرفی دیگر هر چه ارتفاع کاهش پیدا کند به دلیل افزایش غلظت اتمسفر، کنترل کننده عملکرد بهتری از خود نشان می‌دهند. پس

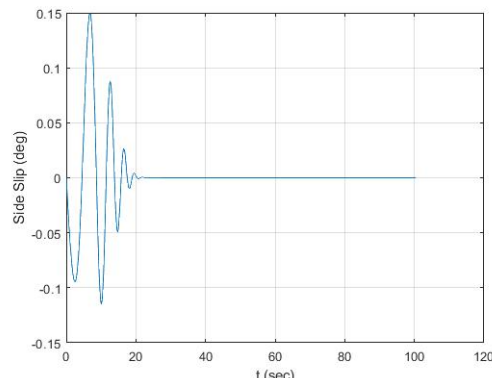
شبیه‌سازی

همان گونه که گفته شد مولفه‌های اصلی، کنترل زاویه حمله و زاویه سرش جانی می‌باشد. معیار اصلی که برای طراحی کنترل کننده در نظر گرفته شده است فراجهش ۵ درصد است. با فرض این که هر کدام از جرم‌های انتقالی ۱۰ کیلوگرم جرم داشته باشند کنترل PID برای سیستم طراحی شده و نتایج زیر حاصل گشته است.

مشاهده می‌شود که متغیرهای تحت کنترل به خوبی و با سرعت قابل قبولی کنترل شده است. که این موضوع در مقایسه شکل‌های (۱۰) و (۱۱) با شکل‌های (۲) و (۳) قابل مشاهده است.

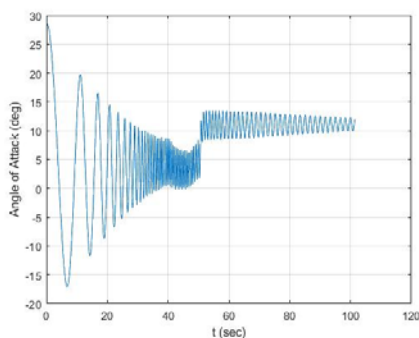


شکل ۱۰- زاویه حمله کنترل شده



شکل ۱۱- زاویه سرش جانی کنترل شده

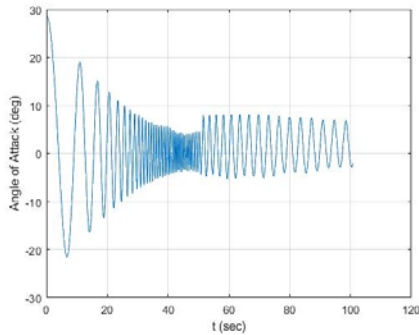
اکنون زاویه حمله اولیه هنگام ورود به جو فضاییما را افزایش داده تا سیستم ورودی‌های اغتشاشی بزرگ‌تری را تجربه کند. ضمن این که به عنوان یک نامعینی مکان مرکز جرم با یک سانتی‌متر انحراف از مقدار نامی خود در نظر گرفته شده است. نتایج حاصله در شکل‌های (۱۲) و (۱۳) مشخص است. سرعت‌های زاویه ای مربوطه نیز در شکل (۱۴) نشان داده شده است.



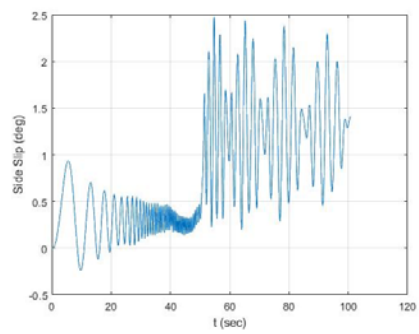
شکل ۱۷- زاویه حمله کنترل شده با مکانیزم شعاعی و کنترل PID

همچنین، واضح است که اگر جرم عملگرها را نصف کنیم مکانیزم صلیبی و کنترل کننده PID دیگر جوابگو نیست و احتیاج داریم تا از مکانیزم شعاعی استفاده کنیم. نمودارهای ۱۸ و ۱۹ صحبت این موضوع را تایید می‌کند. اگر جرم عملگرها را به ۵ کیلوگرم کاهش داده و از چیدمان شعاعی همراه با کنترل کننده تناسی-انتگرالی-مشتقی غیرخطی استفاده کنیم نتایج بدستآمده متفاوت خواهد شد.

نمودارهای (۲۰) و (۲۱) بیانگر این است که چیدمان شعاعی این امکان را به ما می‌دهد تا جرم عملگرها خود را به نصف برسانیم به شرط آنکه از یک کنترل کننده غیرخطی مانند کنترل کننده به کاربرده شده در این پژوهش استفاده کنیم.



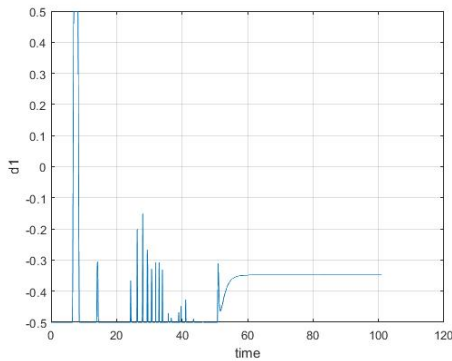
شکل ۱۸- زاویه حمله کنترل شده با مکانیزم صلیبی و جرم عملگر 5kg



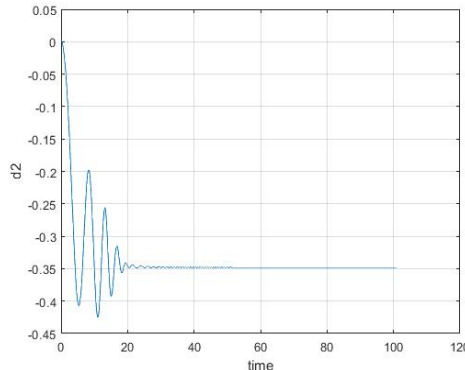
شکل ۱۹- زاویه سرش جانبه کنترل شده با مکانیزم صلیبی و جرم عملگر 5kg

باتوجه به نمودارهای (۱۲) و (۱۳) مقایسه آن‌ها با شکل‌های شکل (۴) و شکل (۵) می‌توان نتیجه گرفت که کنترل کننده بعد از ورود به جو و به خصوص در هنگام غلیظ شدن جو عملکرد بسیار مطلوبی از خود نشان داده و زاویه‌های اغتشاشی ایجاد شده را به خوبی کنترل کرده است. همان‌طور که گفته شد میزان انحراف جرم‌های متوجه محدود بوده و وابسته به قطر فضایی است. در این پژوهش قطر کپسول ۱۵۰ سانتی‌متر است و این بدین معنی است که هر کدام از این جرم‌های متوجه می‌توانند از صفر تا ۷۰ سانتی‌متر حرکت کند و کنترل کننده طراحی شده با وجود این قید سیستم را کنترل کرده است.

با فرض بر اینکه که جرم‌های انتقالی با هم برخورد نمی‌کنند میزان جایه‌جایی جرم‌های متوجه در شکل‌های (۱۵) و (۱۶) مشاهده می‌شود.



شکل ۱۵- میزان جایه‌جایی جرم متوجه



شکل ۱۶- میزان جایه‌جایی جرم متوجه

اگر به جای مکانیزم صلیبی از مکانیزم شعاعی استفاده کنیم دیگر کنترل کننده PID توانایی کنترل سیستم را ندارد. دلیل این موضوع روابط غیرخطی حاکم بر مکانیزم شعاعی می‌باشد. که این امر در مورد زاویه‌ی حمله در شکل ۱۷ قابل مشاهده است.

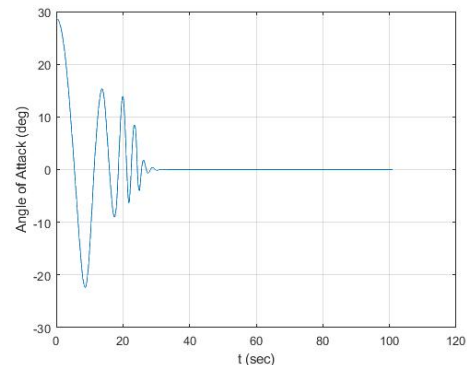
-کنترل کننده غیرخطی استفاده شود. کنترل کننده تناصی-انتگرالی-مشتغی غیرخطی به عنوان یک کنترل کننده جدید استفاده شده و کارایی بالای را از خود نشان داده است.

تعارض منافع

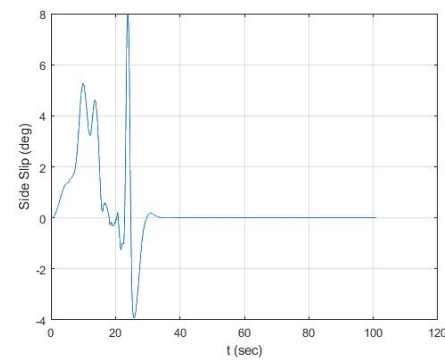
هیچگونه تعارض منافع توسط نویسندهای بیان نشده است.

مراجع

- [1] A. Fedele, S. Carannante, M. Grassi, and R. Savino, "Aerodynamic control system for a deployable re-entry capsule," *Acta Astronautica*, vol. 181, pp. 707-716, 2021, doi: <https://doi.org/10.1016/j.actaastro.2020.05.049>.
- [2] A. Mohammadi and M. Tayefi, "Moving mass control system in conjunction with brain emotional learning-based intelligent control for rate regulation of suborbital reentry payloads," *Proceedings of the Institution of Mechanical Engineers, Part I: Journal of Systems and Control Engineering*, vol. 226, no. 9, pp. 1183-1192, 2012, doi: <https://doi.org/10.1177/0959651812453391>.
- [3] J. Li, C. Gao, C. Li, and W. Jing, "A survey on moving mass control technology," *Aerospace Science and Technology*, vol. 82, pp. 594-606, 2018, doi: <https://doi.org/10.1016/j.ast.2018.09.033>.
- [4] S. A. Erturk and A. Dogan, "Trim analysis of a moving-mass actuated airplane in steady turn," in *51st AIAA Aerospace Sciences Meeting including the New Horizons Forum and Aerospace Exposition*, p. 622, 2013, doi: <https://doi.org/10.2514/6.2013-622>.
- [5] S. Darvishpoor, J. Roshanian, and M. Tayefi, "A novel concept of VTOL bi-rotor UAV based on moving mass control," *Aerospace Science and Technology*, vol. 107, p. 106238, 2020, doi: <https://doi.org/10.1016/j.ast.2020.106238>.
- [6] R. D. Robinett III, B. R. Sturgis, and S. A. Kerr, "Moving mass trim control for aerospace vehicles," *Journal of Guidance, control, and Dynamics*, vol. 19, no. 5, pp. 1064-1070, 1996, doi: <https://doi.org/10.2514/3.21746>.
- [7] T. Petsopoulos, F. J. Regan, and J. Barlow, "Moving-mass roll control system for fixed-trim re-entry vehicle," *Journal of Spacecraft and Rockets*, vol. 33, no. 1, pp. 54-60, 1996, doi: <https://doi.org/10.2514/3.55707>.
- [8] T. Haus, M. Orsag, and S. Bogdan, "Design considerations for a large quadrotor with



شکل ۲۰- زاویه حمله کنترل شده با مکانیزم شعاعی و جرم عملگر ۵ kg



شکل ۲۱- زاویه سرش جانبی کنترل شده با مکانیزم شعاعی و جرم عملگر ۵ kg

نتیجه گیری

فاز بازگشت به جو در یک فضاییما یکی از مهم‌ترین مراحل ماموریت آن می‌باشد. نیروهای وارد شده به فضاییما در این فاز باعث ایجاد زاویه‌های اغتشاشی می‌شود. که این زاویا باعث آسیب به وسیله و سرنوشنیان آن و انحراف مسیر پرواز می‌شود. برای کنترل این زاویای اغتشاشی می‌توان از جرم‌های انتقالی به عنوان عملگر استفاده کرد. این عملگر به دلیل استفاده از نیروی داخلی مزیت‌هایی نسبت به سطوح کنترلی و تراست جت‌ها دارند. هر دو مکانیزم صلبی و شعاعی توانایی کنترل وسیله پرنده را دارند. نتایج نشان می‌دهد که بیشترین فرکанс زوایای اغتشاشی در ارتفاع ۲۰ تا ۳ کیلومتری سطح زمین است. اغتشاشات فرکانس بالا بیشترین صدمه را به فضاییما و سرنوشنی‌های آن وارد می‌کند. کنترل کننده طراحی شده در این محدوده زمانی عملکرد بسیار مناسبی را در هر دو مکانیزم شعاعی و صلبی نشان می‌دهد. مکانیزم شعاعی مزیت‌های بیشتری نسبت به مکانیزم صلبی داشته و توانایی حمل بار را افزایش می‌دهد. در شرایط یکسان می‌توانیم جرم عملگرها را در مکانیزم شعاعی به نصف برسانیم. برای استفاده از مکانیزم شعاعی به دلیل روابط غیرخطی حاکم بر آن باید از یک

- Algorithms; Simulation and Comparison in Quadrotor," *Journal of Technology in Aerospace Engineering*, vol. 7, no. 4, pp. 23-33, 2024,
doi: <https://doi.org/10.30699/jtae.2023.7.4.3>.
- [9] A. A. Najm and I. K. Ibraheem, "Nonlinear PID controller design for a 6-DOF UAV quadrotor system," *Engineering Science and Technology, an International Journal*, vol. 22, no. 4, pp. 1087-1097, 2019,
doi: <https://doi.org/10.1016/j.estch.2019.02.005>.
- [10] J. Wang, L. Liu, P. Wang, and G. Tang, "Guidance and control system design for hypersonic vehicles in dive phase," *Aerospace Science and Technology*, vol. 53, pp. 47-60, 2016,
doi: <https://doi.org/10.1016/j.ast.2016.03.010>.
- [11] M. Ghanifar, M. Kamzan, and M. Tayefi, "Adjust PID Controller Parameters with Adaptive and Non-Adaptive Intelligent moving mass control," in *2016 International Conference on Unmanned Aircraft Systems (ICUAS)*, pp. 1327-1334: IEEE, 2016.